

## 32 Lloses

### 32.5 Llosa. Circular. Línies de trencament

Aquesta aplicació estudia les lloses circulars de radi  $R$ , amb les vores totalment recolzades o totalment encastades, sotmeses a una càrrega concentrada  $Q$  (fig. 32.12). Aquesta es troba col·locada a una distància qualsevol  $d$  del centre del cercle. A l'aplicació 32.2 s'indicava el procés a realitzar per al càlcul d'una llosa en forma de quadrilàter, és a dir, de forma general, pel mètode de les línies de trencament. Aquí no es repeteix aquest procés, sinó que s'utilitzen directament les fórmules que es troben en el llibre '*Hormigón armado*', de *P. Jiménez Montoya, A. García Meseguer i F. Morán Cabré, 13<sup>a</sup> edició*, editat a Barcelona el 1991 per Editorial Gustavo Gili SA.

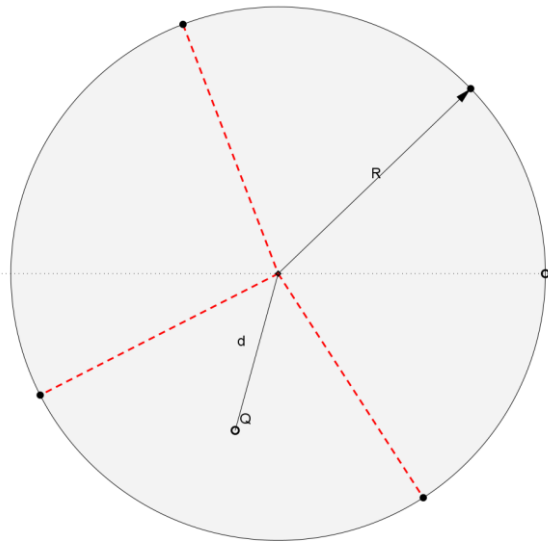


Fig. 32.12

L'aplicació dona el màxim moment flector  $M$ . Si la llosa es troba totalment encastada, a més, es defineix el moment negatiu  $M(-)$ . Malgrat que el càlcul de les línies de trencament implica un tractament plàstic del material constituent de la llosa, els moments trobats són els de servei. Tots ells per metre d'amplada. No s'ha considerat el pes propi de la llosa, ni l'efecte del punxonament provocat per la càrrega  $Q$ . Tampoc es calculen les deformacions.